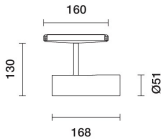


Letzte Aktualisierung der Informationen: Mai 2025

Produktkonfiguration: RE42

RE42: Strahler Robin Ø51 für Superrail-Schiene 48V - Bluetooth



Produktcode

RE42: Strahler Robin Ø51 für Superrail-Schiene 48V - Bluetooth **Warnung! Code eingestellt**

Beschreibung

Miniaturisierter schwenkbarer Strahler, komplett mit Adapter für die Installation an Niedervolt-Stromschiene (48V). Gefertigt aus Aluminiumdruckguss mit passivem Wärmeableiter. Adapter aus Thermoplast komplett mit Treiberplatine DC/DC mit Bluetooth-Protokoll. Dank der Strahlergelenke ist eine Drehung um 360° und Neigung um 160° möglich; der Einbau des Strahlers auf 48V-Schiene kann sowohl in „Up“ wie in „Down“-Position erfolgen. Die zurückgesetzte optische Einheit garantiert den hohen Sehkomfort. Die hochauflösende Linse aus Thermoplast mit der Möglichkeit des Einsatzes zusätzlichen Zubehörs garantiert weitere Lichteffekte. Schnellanschluss-System für den werkzeuglosen elektrischen und mechanischen Anschluss des Adapters an der Schiene. Vorrichtung zum Einhängen an 48V-Schiene mit doppelter Sicherheitsarretierung für Fallschutz. Gerät mit Bluetooth Low Energy (WiSilica)-Technologie. 2,4 GHz BLE Frequenz. Die Leuchte kann mit Quick BLE und der App "Smart Light Control" gesteuert werden, Freigabe und On-Off- und Dimm-Funktionen sowie den Abruf von Lichtszenarien ermöglichen. Die App ist im Apple Store und im Google Play Store erhältlich. Die Leuchte kann in das "Mesh"-Netzwerk der Anlage integriert werden, so dass mehrere Leuchten gesteuert werden können. OTA-Aktualisierung (over the air) über App. Integriertes Beacon, das über die App Smart Light Control (Eddystone, iBeacon, Alt Beacon) aktiviert wird und folgende Funktionen ermöglicht: Push Notification-Indoor Navigation-Wayfinding.

Installation

Werkzeuglose mechanische Befestigung mit Adapter an 48V-Schiene. Max. Abstand (*) Gerät zu Gerät 8 m; max. Abstand (*) Smartphone zu Gerät 20 m.

Farben

Weiß (01) | Schwarz (04)

Gewicht (Kg)

0.46

Verkabelung

Direktanschluss an 48V-Schiene. Die Versorgungseinheit der Schiene ist separat zu bestellen. Leuchte steuerbar über Bluetooth-Technologie (WiSilica).

Anmerkungen

(*) Der Höchstabstand für Bluetooth-Installationen ist auch vom Vorhandensein physischer Hindernisse wie z.B. Wänden, Metallplatten sowie vom Layout der Anlage bedingt. Ein Test am Installationsort wird empfohlen.

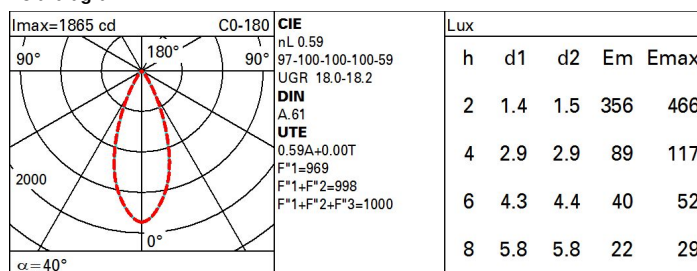
Gemäß der Normen EN60598-1 u. Sondernormen



Technische Daten

| | | | |
|---|-----------|---------------------------------|---------------------------------|
| Im System: | 915 | MacAdam Step: | 2 |
| W System: | 18.8 | Lebensdauer LED 1: | > 50,000h - L90 - B10 (Ta 25°C) |
| Im Lichtquelle: | 1550 | Eingangsspannung [V]: | 48 |
| W Lichtquelle: | 17 | Lampencode: | LED |
| Lichtausbeute (lm/W, Systemwert): | 48.6 | Anzahl Lampen in Leuchtgehäuse: | 1 |
| Im im Nichtlichtbetrieb: | - | ZVEI-Code: | LED |
| abgegebener Lichtstrom bei/ über einem Winkel von 90° [lm]: | 0 | Anzahl Leuchtgehäuse: | 1 |
| Leuchtenbetriebswirkungsgrad 59 (L.O.R.) [%]: | | Leistungsfaktor: | Sehen Montageanleitung |
| Abstrahlwinkel [°]: | 40° / 41° | Minimaler Dimmwert %: | 1 |
| CRI (minimum): | 90 | Control: | Bluetooth WiSilica |
| Farbtemperatur [K]: | 2700 | | |

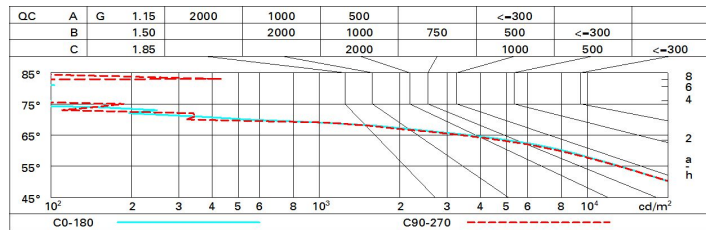
Polardiagramm



Wirkungsgrad

| R | 77 | 75 | 73 | 71 | 55 | 53 | 33 | 00 | DRR |
|------|----|----|----|----|----|----|----|----|-----|
| K0.8 | 53 | 50 | 48 | 46 | 49 | 47 | 47 | 45 | 76 |
| 1.0 | 55 | 52 | 50 | 49 | 52 | 50 | 50 | 48 | 81 |
| 1.5 | 58 | 56 | 54 | 53 | 55 | 54 | 53 | 52 | 87 |
| 2.0 | 60 | 58 | 57 | 56 | 58 | 57 | 56 | 54 | 92 |
| 2.5 | 61 | 60 | 59 | 58 | 59 | 58 | 58 | 56 | 95 |
| 3.0 | 62 | 61 | 60 | 60 | 60 | 59 | 59 | 57 | 97 |
| 4.0 | 62 | 62 | 62 | 61 | 61 | 61 | 60 | 58 | 99 |
| 5.0 | 63 | 62 | 62 | 62 | 61 | 61 | 60 | 59 | 100 |

Söllner-Diagramm



UGR-Diagramm

| Corrected UGR values (at 1550 lm bare lamp luminous flux) | | | | | | | | | | | |
|---|------|------------------|------|------|------|-------------|----------------|------|------|------|------|
| Reflect.: | | viewed crosswise | | | | | viewed endwise | | | | |
| ceiling/cav | | 0.70 | 0.70 | 0.50 | 0.50 | 0.30 | 0.70 | 0.70 | 0.50 | 0.50 | 0.30 |
| walls | | 0.50 | 0.30 | 0.50 | 0.30 | 0.30 | 0.50 | 0.30 | 0.50 | 0.30 | 0.30 |
| work pl. | | 0.20 | 0.20 | 0.20 | 0.20 | 0.20 | 0.20 | 0.20 | 0.20 | 0.20 | 0.20 |
| Room dim | | | | | | | | | | | |
| x | y | | | | | | | | | | |
| 2H | 2H | 18.5 | 19.2 | 18.8 | 19.4 | 19.6 | 18.7 | 19.3 | 19.0 | 19.6 | 19.8 |
| | 3H | 18.4 | 19.0 | 18.7 | 19.3 | 19.5 | 18.6 | 19.2 | 18.9 | 19.4 | 19.7 |
| | 4H | 18.3 | 18.9 | 18.7 | 19.2 | 19.5 | 18.5 | 19.1 | 18.9 | 19.3 | 19.6 |
| | 6H | 18.3 | 18.7 | 18.6 | 19.1 | 19.4 | 18.4 | 18.9 | 18.8 | 19.2 | 19.6 |
| | 8H | 18.2 | 18.7 | 18.6 | 19.0 | 19.4 | 18.4 | 18.9 | 18.8 | 19.2 | 19.5 |
| | 12H | 18.2 | 18.6 | 18.6 | 19.0 | 19.3 | 18.4 | 18.8 | 18.7 | 19.2 | 19.5 |
| 4H | 2H | 18.4 | 18.9 | 18.7 | 19.2 | 19.5 | 18.5 | 19.0 | 18.8 | 19.3 | 19.6 |
| | 3H | 18.2 | 18.7 | 18.6 | 19.0 | 19.4 | 18.4 | 18.8 | 18.8 | 19.2 | 19.5 |
| | 4H | 18.1 | 18.5 | 18.5 | 18.9 | 19.3 | 18.3 | 18.7 | 18.7 | 19.1 | 19.4 |
| | 6H | 18.0 | 18.4 | 18.5 | 18.8 | 19.2 | 18.2 | 18.5 | 18.6 | 18.9 | 19.4 |
| | 8H | 18.0 | 18.3 | 18.4 | 18.7 | 19.2 | 18.2 | 18.5 | 18.6 | 18.9 | 19.3 |
| | 12H | 17.9 | 18.2 | 18.4 | 18.7 | 19.1 | 18.1 | 18.4 | 18.6 | 18.8 | 19.3 |
| 8H | 4H | 18.0 | 18.3 | 18.4 | 18.7 | 19.2 | 18.2 | 18.5 | 18.6 | 18.9 | 19.3 |
| | 6H | 17.9 | 18.2 | 18.4 | 18.6 | 19.1 | 18.1 | 18.3 | 18.5 | 18.8 | 19.2 |
| | 8H | 17.8 | 18.1 | 18.3 | 18.5 | 19.0 | 18.0 | 18.2 | 18.5 | 18.7 | 19.2 |
| | 12H | 17.8 | 18.0 | 18.3 | 18.5 | 19.0 | 18.0 | 18.2 | 18.5 | 18.6 | 19.2 |
| 12H | 4H | 17.9 | 18.2 | 18.4 | 18.7 | 19.1 | 18.1 | 18.4 | 18.6 | 18.8 | 19.3 |
| | 6H | 17.8 | 18.1 | 18.3 | 18.5 | 19.0 | 18.0 | 18.2 | 18.5 | 18.7 | 19.2 |
| | 8H | 17.8 | 18.0 | 18.3 | 18.5 | 19.0 | 18.0 | 18.2 | 18.5 | 18.6 | 19.2 |
| Variations with the observer position at spacing: | | | | | | | | | | | |
| S = | 1.0H | 4.9 / -7.9 | | | | 4.9 / -8.1 | | | | | |
| | 1.5H | 7.7 / -11.8 | | | | 7.6 / -12.3 | | | | | |
| | 2.0H | 9.7 / -20.3 | | | | 9.6 / -20.5 | | | | | |